

Лабораторная работа № 3.6.1  
Спектральный анализ электрических сигналов

Струков О. И.  
Б04-404

# Теоретическая часть

**В работе используются:** генератор сигналов произвольной формы, цифровой осциллограф с функцией быстрого преобразования Фурье или цифровой USB-осциллограф, подключённый к персональному компьютеру.

**Цель работы:** изучить спектры сигналов различной формы и влияние параметров сигнала на вид соответствующих спектров; проверить справедливость соотношений неопределённостей; познакомиться с работой спектральных фильтров на примере RC-цепочки

## Разложение сложных сигналов на периодические колебания

Представление периодического сигнала в виде суммы гармонических сигналов называется разложением в ряд Фурье.

Пусть заданная функция  $f(t)$  периодически повторяется с частотой  $\Omega_1 = \frac{2\pi}{T}$ , где  $T$  - период повторения. Её разложение в ряд Фурье имеет вид

$$f(t) = \frac{a_0}{2} + \sum_{n=1}^{\infty} [a_n \cos(n\Omega_1 t) + b_n \sin(n\Omega_1 t)] \quad (1)$$

Здесь  $\frac{a_0}{2}$  - среднее значение функции  $f(t)$ ,

$$a_n = \frac{2}{T} \int_{t_1}^{t_1+T} f(t) \cos(n\Omega_1 t) dt, \quad (2)$$

$$b_n = \frac{2}{T} \int_{t_1}^{t_1+T} f(t) \sin(n\Omega_1 t) dt. \quad (3)$$

Рассмотрим периодические функции, которые исследуются в нашей работе.

1. **Периодическая последовательность прямоугольных импульсов** (рис. 1) с амплитудой  $V_0$ , длительностью  $\tau$ , частотой повторения  $\Omega_1 = \frac{2\pi}{T}$ , где  $T$  - период повторения импульсов. Найдем коэффициенты разложения ряда Фурье:

$$\frac{a_0}{2} = V_0 \frac{\tau}{T},$$

$$a_n = \frac{2}{T} \int_{-\frac{\tau}{2}}^{\frac{\tau}{2}} V_0 \cos(n\Omega_1 t) dt = 2V_0 \frac{\tau}{T} \frac{\sin(n\Omega_1 \frac{\tau}{2})}{n\Omega_1 \frac{\tau}{2}} \sim \frac{\sin x}{x}. \quad (4)$$

Поскольку наша функция четная, все коэффициенты синусоидальных гармоник  $b_n = 0$ . Спектр  $a_n$  последовательности прямоугольных импульсов представлен на рис. 2 (изображен случай, когда  $T$  кратно  $\tau$ ).

Назовём *шириной спектра*  $\Delta\omega$  расстояние от главного максимума ( $\omega = 0$ ) до первого нуля огибающей, возникающего при  $n = \frac{2\pi}{\tau\Omega_1}$ . При этом

$$\Delta\omega\tau \simeq 2\pi$$

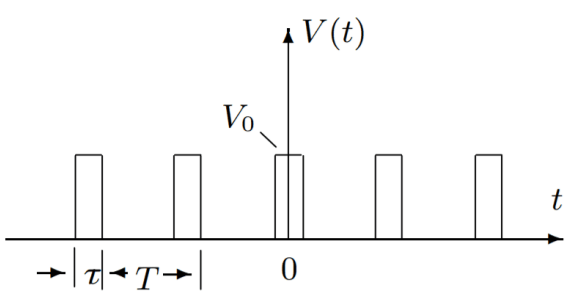


Рис. 1: Прямоугольные импульсы

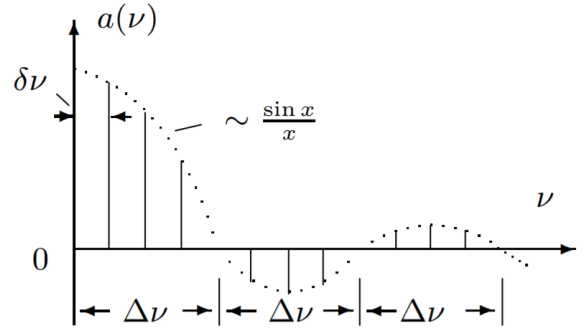


Рис. 2: Спектр последовательности прямоугольных импульсов

или

$$\Delta\nu\Delta t \simeq 1 \quad (5)$$

Полученное соотношение взаимной связи интервалов  $\Delta\nu$  и  $\Delta t$  является частным случаем соотношения неопределенности в квантовой механике.

2. **Периодическая последовательность цугов** гармонического колебания  $V_0 \cos(\omega_0 t)$  с длительностью цуга  $\tau$  и периодом повторения  $T$  (рис. 3).

Функция  $f(t)$  снова является четной относительно  $t = 0$ . Коэффициент при  $n$ -й гармонике равен

$$a_n = \frac{2}{T} \int_{-\frac{\tau}{2}}^{\frac{\tau}{2}} V_0 \cos(\omega_0 t) \cos(n\Omega_1 t) dt = V_0 \frac{\tau}{T} \left( \frac{\sin[(\omega_0 - n\Omega_1)\frac{\tau}{2}]}{(\omega_0 - n\Omega_1)\frac{\tau}{2}} + \frac{\sin[(\omega_0 + n\Omega_1)\frac{\tau}{2}]}{(\omega_0 + n\Omega_1)\frac{\tau}{2}} \right) \quad (6)$$

Зависимость для случая, когда  $\frac{T}{\tau}$  равно целому числу, представлена на рис. 4. Сравнивая спектр последовательности прямоугольных импульсов и цугов мы видим, что они аналогичны, но их максимумы сдвинуты по частоте на величину  $\omega_0$ .

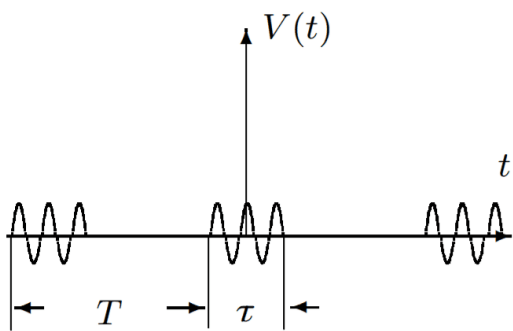


Рис. 3: Последовательность цугов

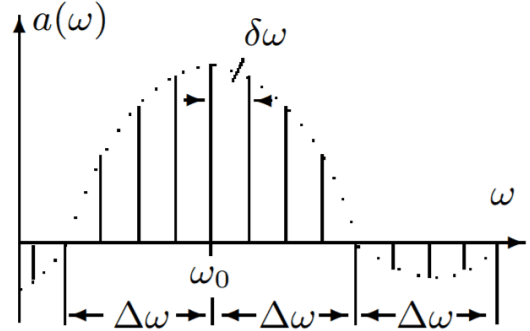


Рис. 4: Спектр последовательности цугов

3. **Амплитудно-модулированные колебания.** Рассмотрим гармонические колебания высокой частоты  $\omega_0$ , амплитуда которых медленно меняется по гармоническому закону с частотой  $\Omega$  ( $\Omega \ll \omega_0$ ) (рис. 5):

$$f(t) = A_0[1 + m \cos \Omega t] \cos \omega_0 t \quad (7)$$

Коэффициент  $m$  называют **глубиной модуляции**. При  $m < 1$  амплитуда колебаний меняется от минимальной  $A_{min} = A_0(1 - m)$  до максимальной  $A_{max} = A_0(1 + m)$ . Глубина модуляции может быть представлена в виде

$$m = \frac{A_{max} - A_{min}}{A_{max} + A_{min}} \quad (8)$$

Простым тригонометрическим преобразованием можно найти спектр амплитудно - модулированных колебаний:

$$f(t) = A_0 \cos(\omega_0 t) + \frac{A_0 m}{2} \cos(\omega_0 + \Omega)t + \frac{A_0 m}{2} \cos(\omega_0 - \Omega)t. \quad (9)$$

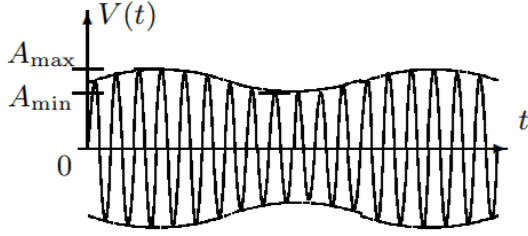


Рис. 5: Модулированные гармонические колебания

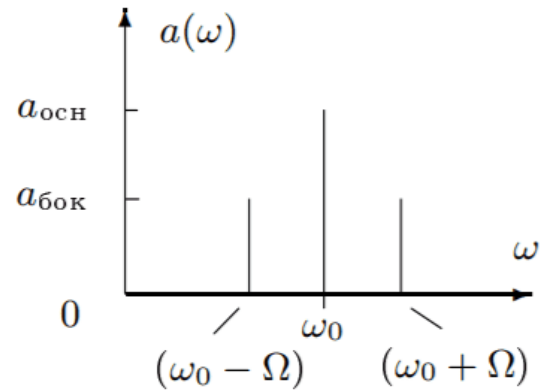


Рис. 6: Спектр модулированных гармонических колебаний

Спектр таких колебаний содержит три составляющих основную компоненту и две боковых (рис. 6). Первое слагаемое в правой части представляет собой исходное немодулированное колебание с основной (несущей) частотой  $\omega_0$  и амплитудой  $a_{\text{осн}} = A_0$ . Второе и третье слагаемые соответствуют новым гармоническим колебаниям с частотами  $\omega_0 + \Omega$  и  $\omega_0 - \Omega$ . Амплитуды этих двух колебаний одинаковы и составляют  $\frac{m}{2}$  от амплитуды немодулированного колебания:  $a_{\text{бок}} = \frac{A_0 m}{2}$ . Начальные фазы всех трех колебаний одинаковы.

## Экспериментальная установка

В работе изучаются спектры периодических электрических сигналов различной формы (последовательности прямоугольных импульсов и цугов, а также амплитудно- и фазомодулированных гармонических колебаний). Спектры этих сигналов наблюдаются с помощью спектроанализатора, входящего в состав USB-осциллографа и сравниваются с рассчитанными теоретически. Схема установки изображена на рис. 7.

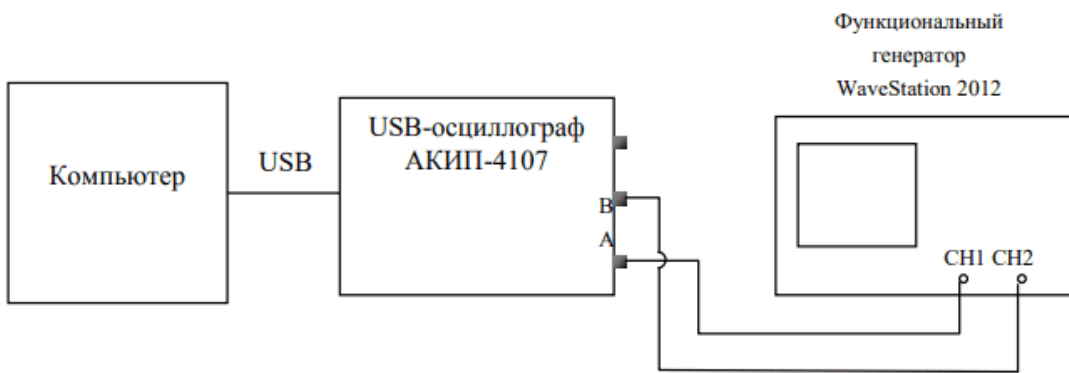


Рис. 7: Схема экспериментальной установки

Функциональный генератор позволяет сформировать два различных электрических сигнала, которые выводятся на два независимых канала – CH1 и CH2. Сигнал с канала CH1 подаётся на вход A, а сигнал с канала CH2 – на вход B USB-осциллографа. Затем эти сигналы подаются на вход компьютера через USB-соединение. При работе USB-осциллографа в режиме осциллографа, на экране компьютера можно наблюдать каждый из сигналов в отдельности, а также их произведение. В режиме спектроанализатора можно наблюдать спектры этих сигналов. При включении функционального генератора, на его экране отображается информация о параметрах электрического сигнала.

# Ход работы

## А. Исследование спектра периодической последовательности прямоугольных импульсов и проверка соотношений неопределённости

1. Изначально генератор был настроен на прямоугольные импульсы с частотой повторения  $\nu_{\text{повт}} = 1 \text{ кГц}$  (период  $T = 1 \text{ мс}$ ) и длительностью импульса  $\tau = 50 \text{ мкс}$ . В результате был получен спектр сигнала (Преобразование Фурье) и исследованы его изменения при разных значениях  $\nu_{\text{повт}}$  и  $\tau$ . Из графиков, приведённых ниже, видно, что при увеличении частоты повторения сигнала увеличивается расстояние между компонентами спектра, а при уменьшении длительности сигнала увеличивается ширина спектра.

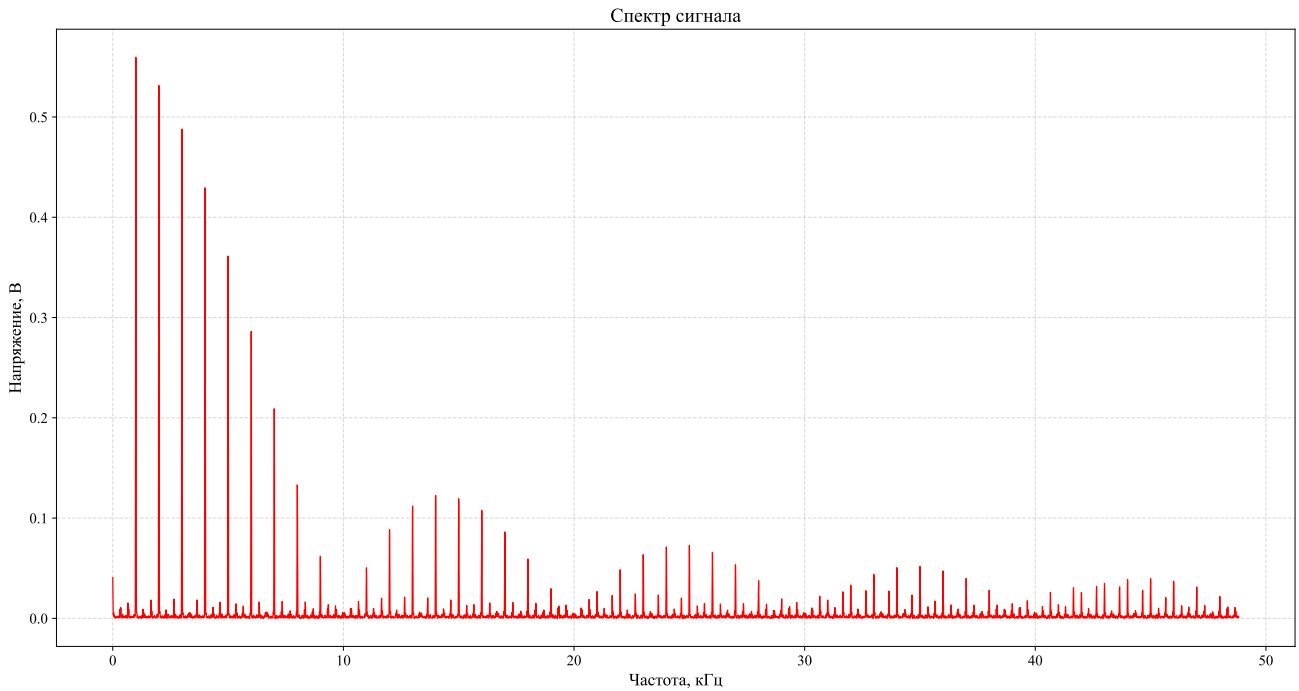


Рис. 8: Спектр при  $\nu = 1 \text{ кГц}$  и  $\tau = 100 \text{ мкс}$

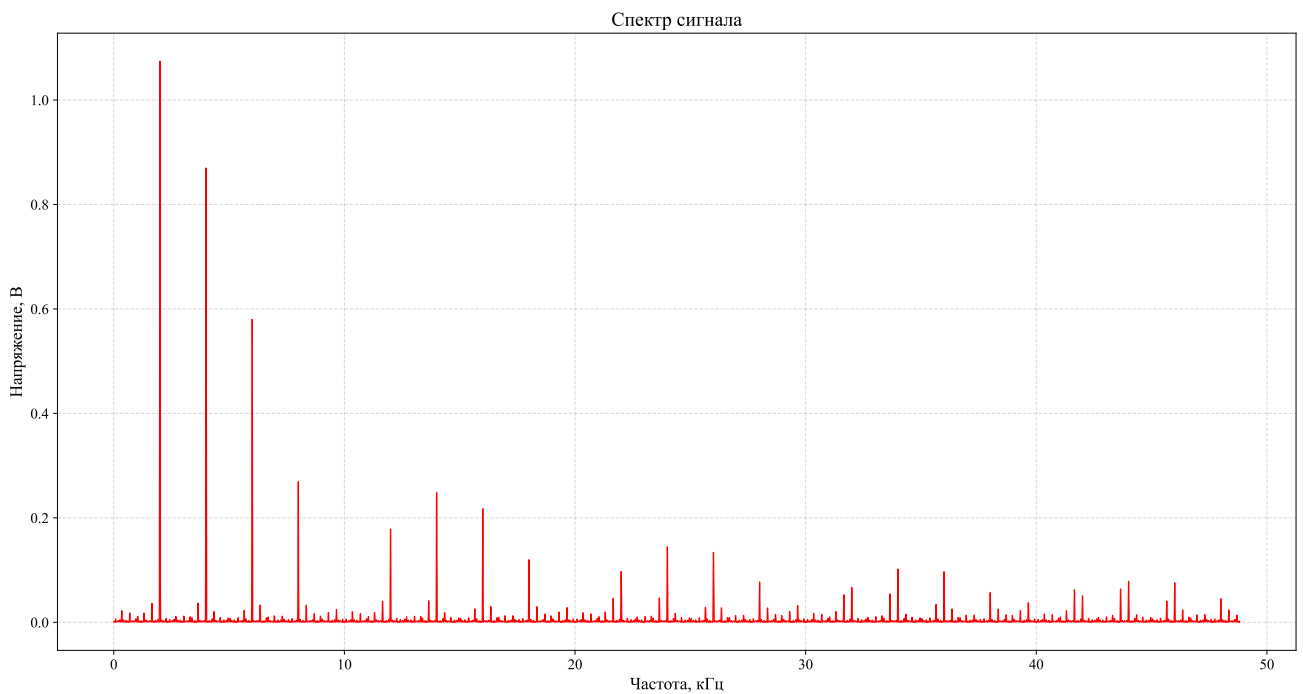


Рис. 9: Спектр при  $\nu = 2$  кГц и  $\tau = 100$  мкс

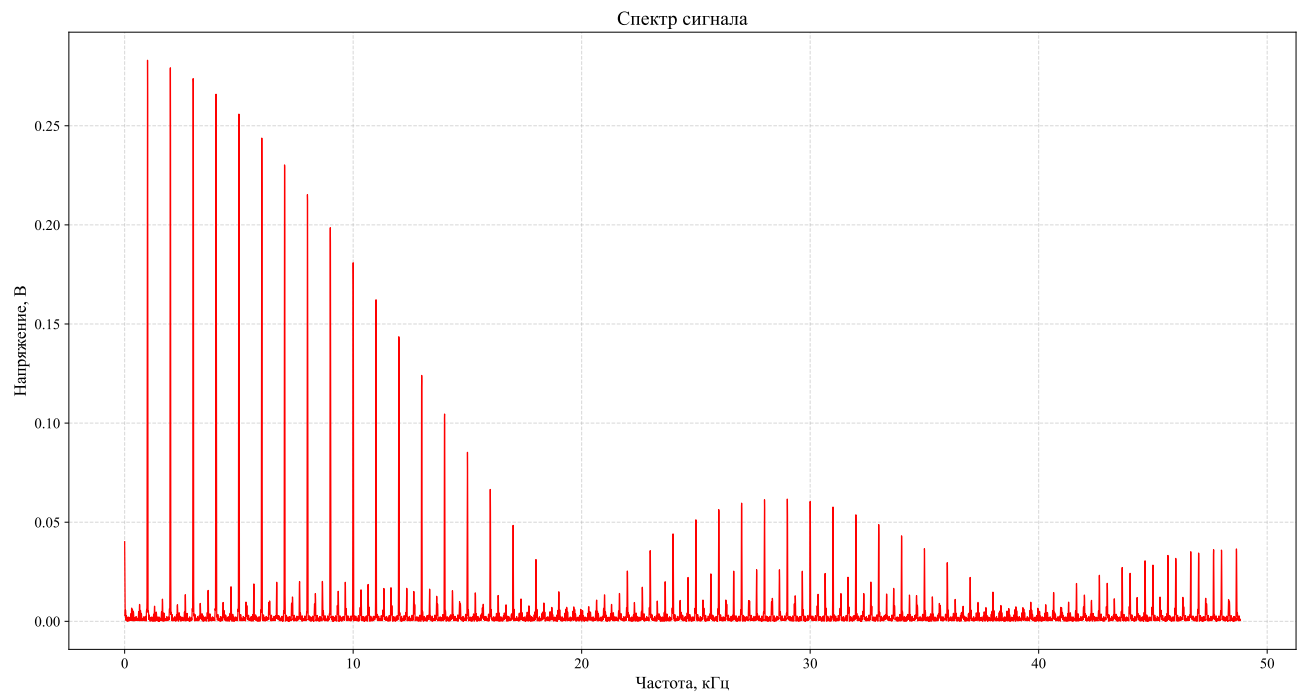


Рис. 10: Спектр при  $\nu = 1$  кГц и  $\tau = 50$  мкс

2. Далее были измерены амплитуды  $a_n$  и частоты  $\nu_n$  спектральных гармоник при фиксированных  $\nu_{\text{повт}}$  и  $\tau$   $\left( \nu_n^{\text{теор}} = \frac{n}{T}, \quad |a_n|_{\text{теор}} = \frac{|\sin \frac{\pi n \tau}{T}|}{\pi n} \right)$ .

n	1	2	3	4	5	6	7
$\nu_{\text{эксп.}}, \text{кГц}$	2,01	4,026	6,042	7,983	12,01	14,03	16,05
$\nu_{\text{теор.}}, \text{кГц}$	2	4	6	8	12	14	16
$ a_n $ , усл.ед.	988,3	862,4	574,6	266,6	176,7	248,7	214,9
$ a_n/a_1 $	1	0,873	0,581	0,270	0,179	0,252	0,217
$ a_n/a_1 $	1	0,988	0,968	0,940	0,905	0,863	0,762

3. Был зафиксирован период повторения прямоугольного сигнала  $T = 1 \text{ мс}$ ,  $\nu_{\text{повт}} = 1 \text{ кГц}$ . При изменении длительности импульса  $\tau$  в диапазоне от  $\tau = T/50$  до  $\tau = T/5$  измерена полная ширина спектра сигнала  $\Delta\nu$  — от центра спектра ( $\nu = 0$ ) до гармоники с нулевой амплитудой  $a_n \approx 0$ .

$\tau, \text{мкс}$	20	50	75	100	125	167	200
$1/\tau, 1/\text{мкс}$	0,050	0,020	0,013	0,010	0,008	0,006	0,005
$\Delta\nu, \text{кГц}$	49,54	19,98	12,97	10,03	8,037	5,993	4,985

4. Построен график зависимости  $\Delta\nu \left( \frac{1}{\tau} \right)$ . С помощью МНК определён коэффициент наклона прямой  $k = 989 \pm 9 \approx 1000 (\text{кГц}\cdot\text{мкс})$ . Из этого следует, что  $\Delta\nu \frac{1}{\tau} = 1$ , что экспериментально подтверждает соотношение неопределённостей.

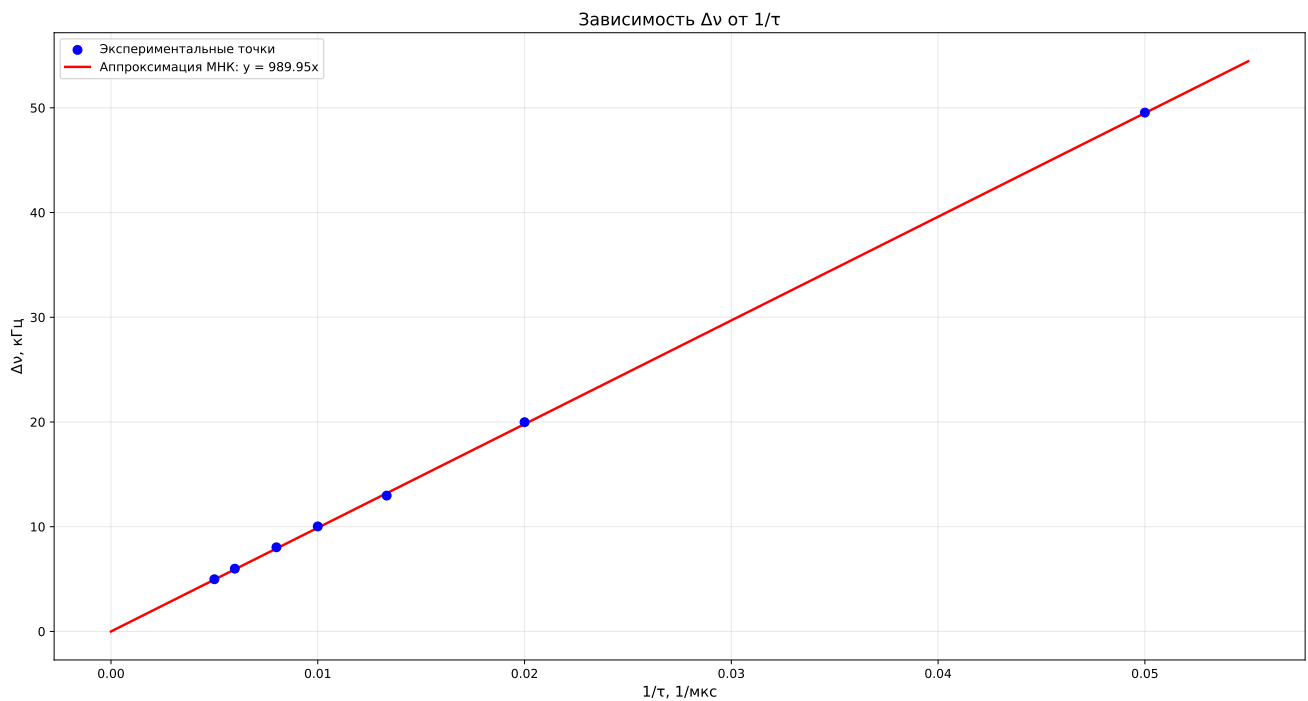


Рис. 11: График зависимости  $\Delta\nu \left( \frac{1}{\tau} \right)$

5. Теперь была зафиксирована длительность импульса прямоугольного сигнала  $\tau = 100 \text{ мкс}$ . При изменении периода повторения  $T$  в диапазоне от  $2\tau$  до  $50\tau$  были измерены расстояния  $\delta\nu = \nu_{n+1} - \nu_n$  между соседними гармониками спектра.

$T, \text{мкс}$	200	500	750	1000	1500	2000	3000	4000	5000
$1/T, 1/\text{мкс}$	0,0050	0,0020	0,0013	0,0010	0,0007	0,0005	0,0003	0,0003	0,0002
$\delta\nu, \text{кГц}$	5,013	2,000	1,271	0,996	0,693	0,500	0,333	0,250	0,200

6. Построен график зависимости  $\delta\nu\left(\frac{1}{T}\right)$ . С помощью МНК получен коэффициент наклона прямой  $k = 1002 \pm 12 \approx 1000$  (кГц·мкс), то есть  $\delta\nu\frac{1}{T} = 1$ , что также экспериментально подтверждает соотношение неопределённостей.

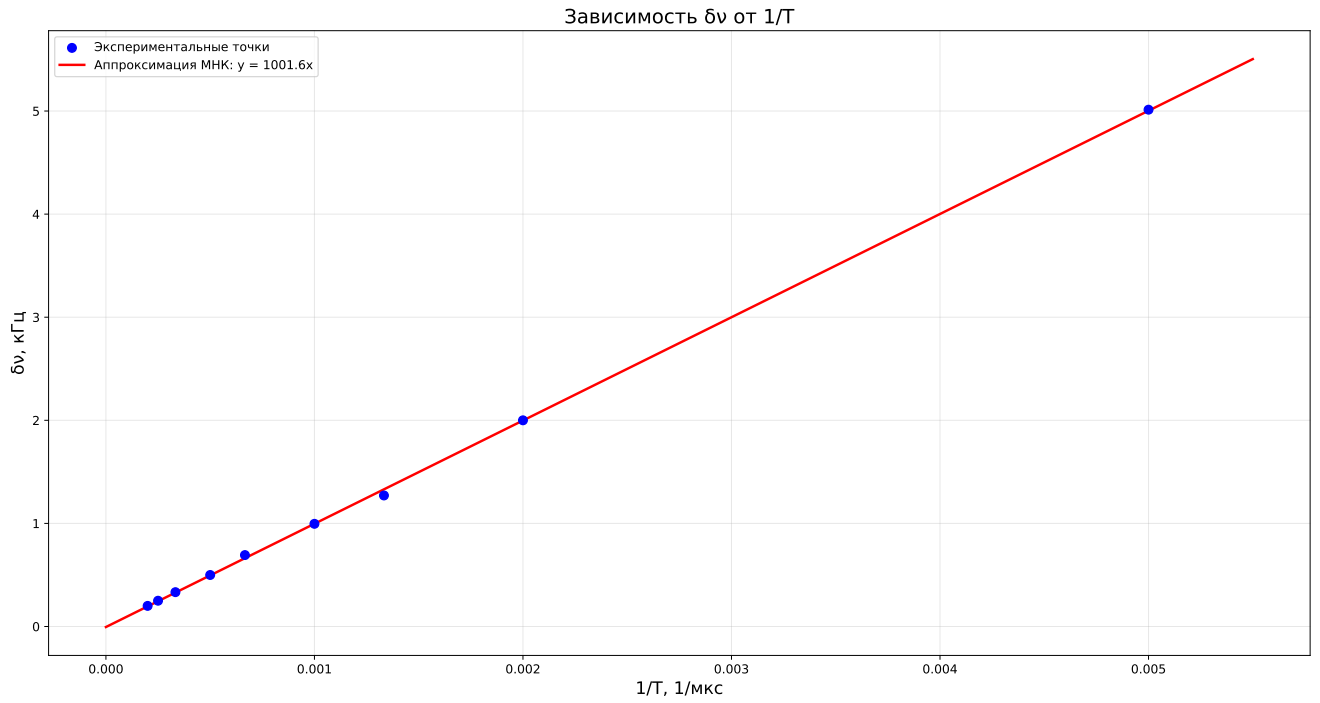


Рис. 12: График зависимости  $\delta\nu\left(\frac{1}{T}\right)$

## Б. Наблюдение спектра периодической последовательности цугов

1. На данном этапе выполнения работы генератор изначально был настроен на периодические импульсы синусоидальной формы (цуги) с несущей частотой  $\nu_0 = 50$  кГц, частотой повторения  $\nu_{\text{повт}} = 1$  кГц, число периодов синусоиды в одном импульсе  $N = 5$  (что соответствует длительности импульса  $\tau = N/\nu_0 = 100$  мкс). На осциллографе была получена устойчивая картина сигнала. Затем изменялись некоторые параметры спектра для наблюдения за его изменением.

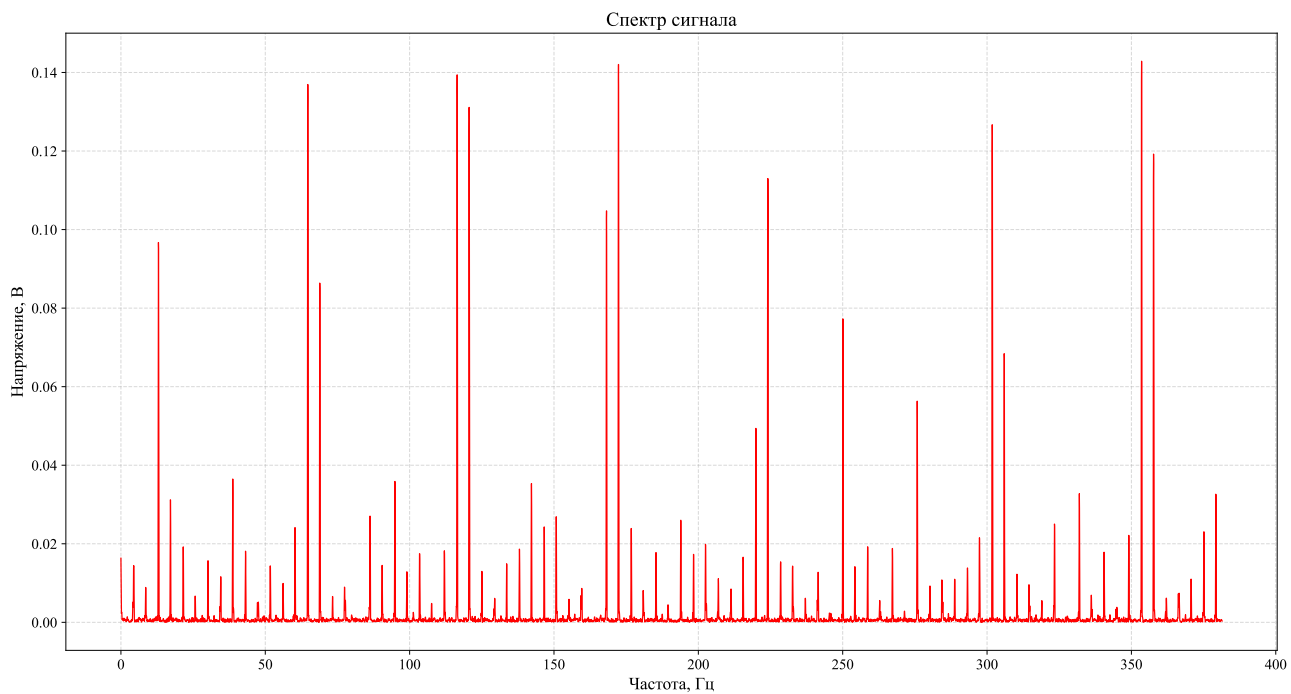


Рис. 13: Спектр при  $\nu_0 = 50$  кГц,  $T = 1$  мс и  $N = 5$

- При изменении  $\nu_0$  при фиксированных  $N$  и  $T$  видно, что в этом случае спектр несколько меняет свою форму и сжимается при увеличении частоты.

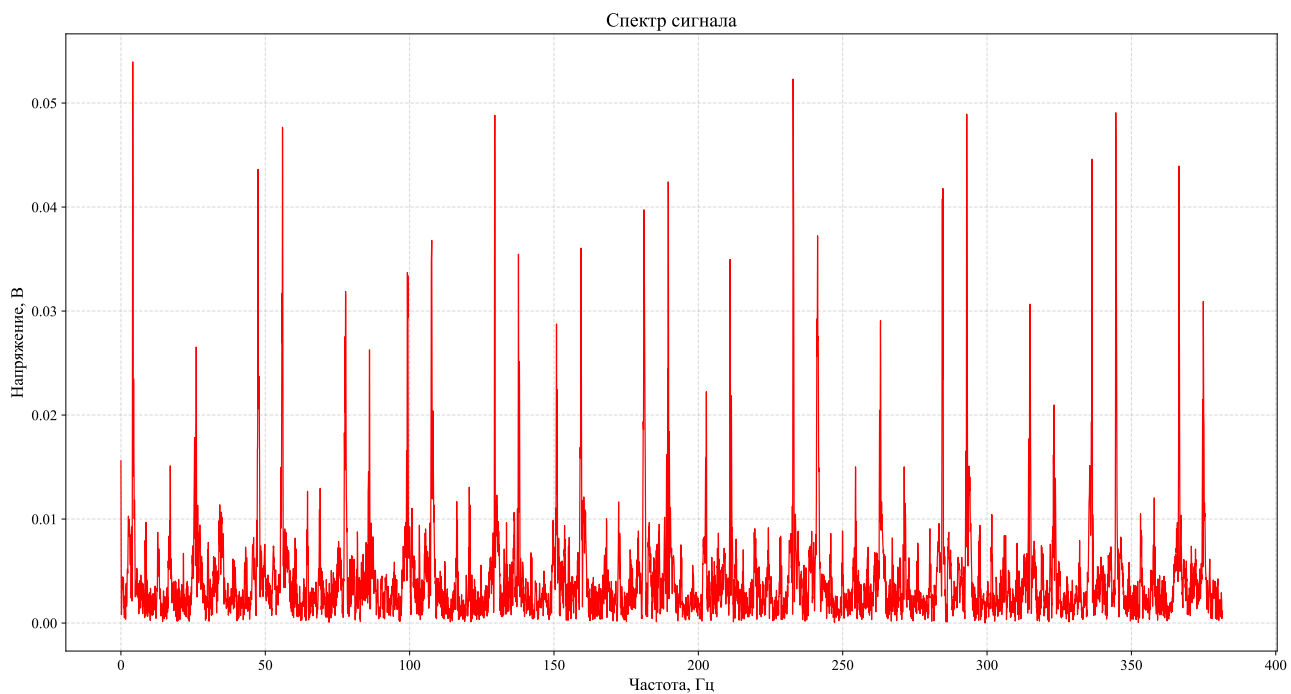


Рис. 14: Спектр при  $\nu_0 = 100$  кГц,  $T = 1$  мс и  $N = 5$

- При изменении  $T$  при фиксированных  $\nu_0$  и  $N$  видно, что форма спектра не меняется, однако он сильно сжимается при увеличении периода повторений.

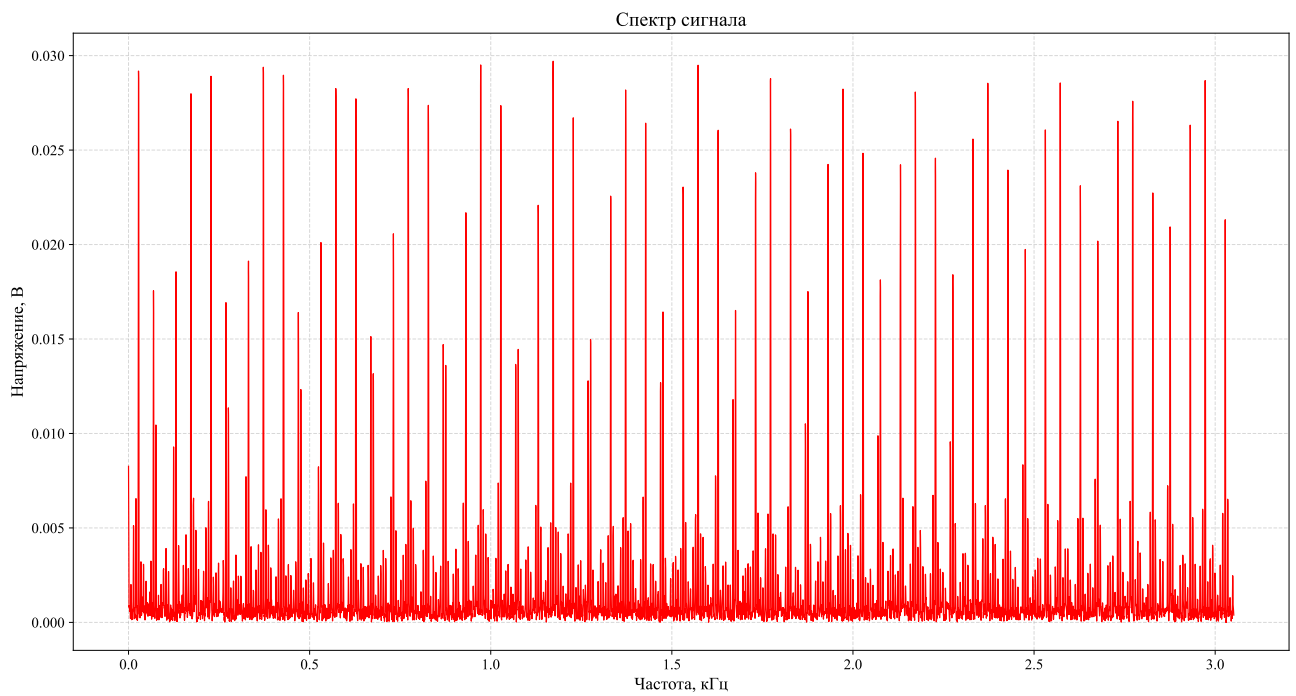


Рис. 15: Спектр при  $\nu_0 = 50$  кГц,  $T = 5$  мс и  $N = 5$

4. При изменении  $N$  при фиксированных  $\nu_0$  и  $T$  видно, что спектр существенно растягивается при увеличении  $N$ .

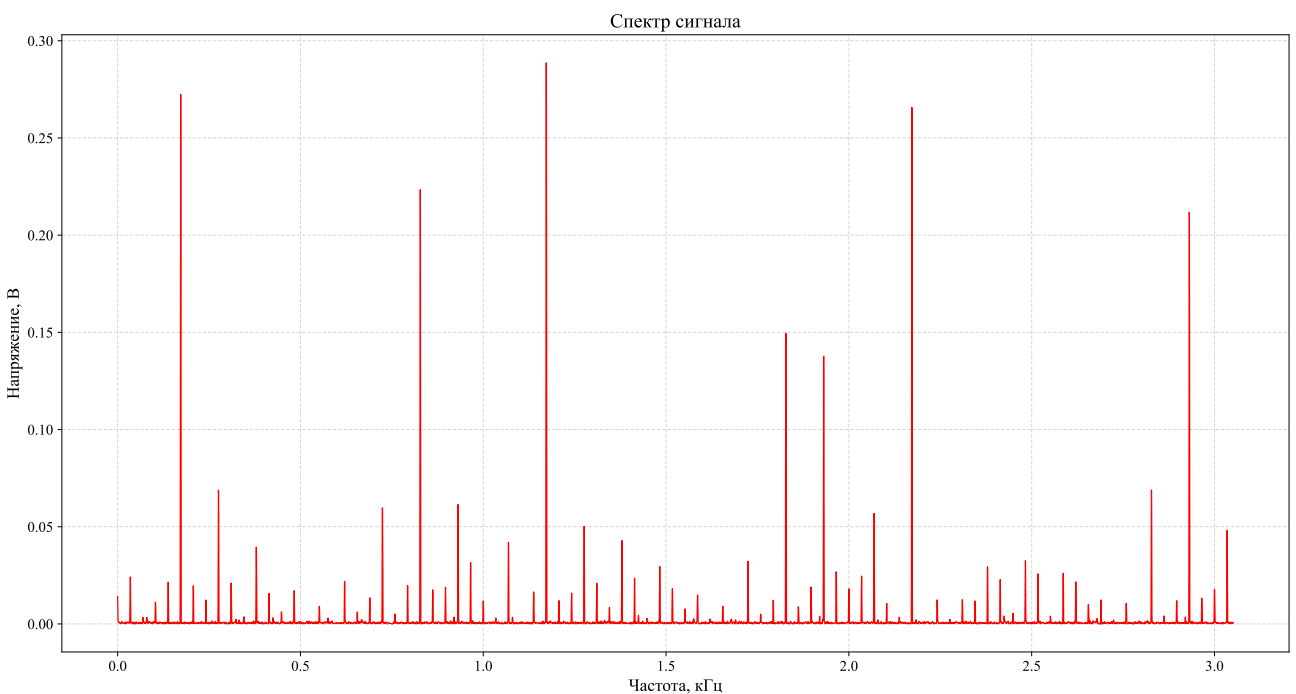


Рис. 16: Спектр при  $\nu_0 = 50$  кГц,  $T = 5$  мс и  $N = 10$

## Г. Исследование спектра амплитудно-модулированного сигнала

- На генераторе был установлен режим модулированного по амплитуде синусоидального сигнала с несущей частотой  $\nu_0 = 50$  кГц, частотой модуляции  $\nu_{\text{мод}} = 2$  кГц, глубина модуляции 50% ( $m = 0,5$ ). На экране осциллографа получена устойчивая картина сигнала.
- В режиме курсорных измерений были определены частоты центральной и боковой гармоник при различных значениях несущей частоты. Видно, что при увеличении несущей частоты происходит сдвиг положения спектральных линий влево

$\nu_0$ , кГц	Центральная гармоника, кГц	Боковая гармоника, кГц
50	1,172	0,827
100	0,707	0,345
200	1,415	0,587

- С помощью осциллографа измерены  $A_{\max} = 1,295$  В и  $A_{\min} = 449,6$  мВ, что подтверждает справедливость следующего равенства:

$$m = \frac{A_{\max} - A_{\min}}{A_{\max} + A_{\min}} = \frac{0,8454}{1,7446} \approx 0,485 \approx 0,5$$

- При изменении на генераторе глубины модуляции  $m$  в диапазоне от 10 % до 100 %, измерены отношение амплитуд боковой и основной спектральных линий  $a_{\text{бок}}/a_{\text{осн}}$  и построен график зависимости  $a_{\text{бок}}/a_{\text{осн}}$  от  $m$ :

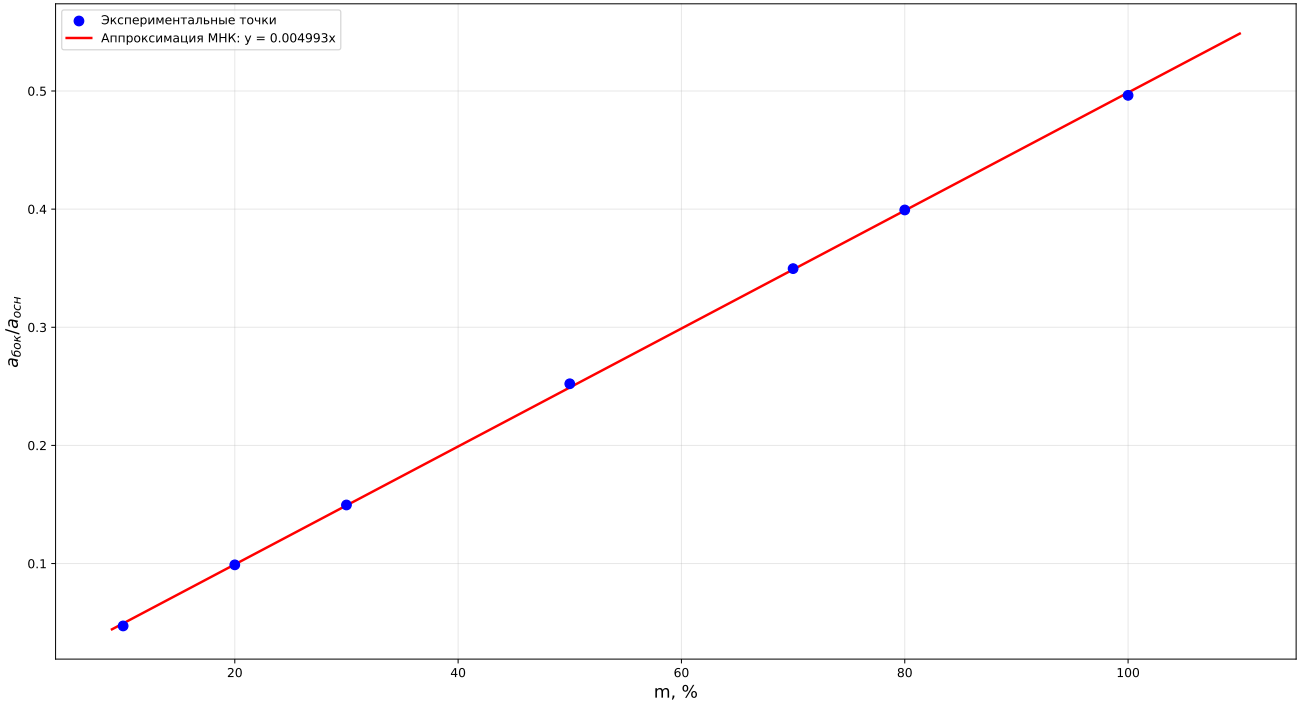


Рис. 17: Зависимость  $a_{\text{бок}}/a_{\text{осн}}$  от  $m$

- С помощью МНК получено, что  $k = 0,4993$   $m$ , что подтверждает равенство  $\frac{a_{\text{бок}}}{a_{\text{осн}}} = \frac{m}{2}$ , т.е. совпадает с теоретическим предположением.

## Е. Изучение фильтрации сигналов

1. В цепь была подключена  $RC$  цепочка с сопротивлением  $R = 3 \text{ кОм}$  и ёмкостью  $C = 1000 \text{ пФ}$ . Отсюда характерное время  $\tau_{RC} = RC = 3 \text{ мкс}$ .
2. На вход  $RC$ -цепочки подана последовательность прямоугольных импульсов с периодом повторения  $T = 3 \text{ мкс}$  и длительностью  $\tau = 150 \text{ нс}$ . На экране получены формы и спектры сигналов при различных периодах повторения сигнала:

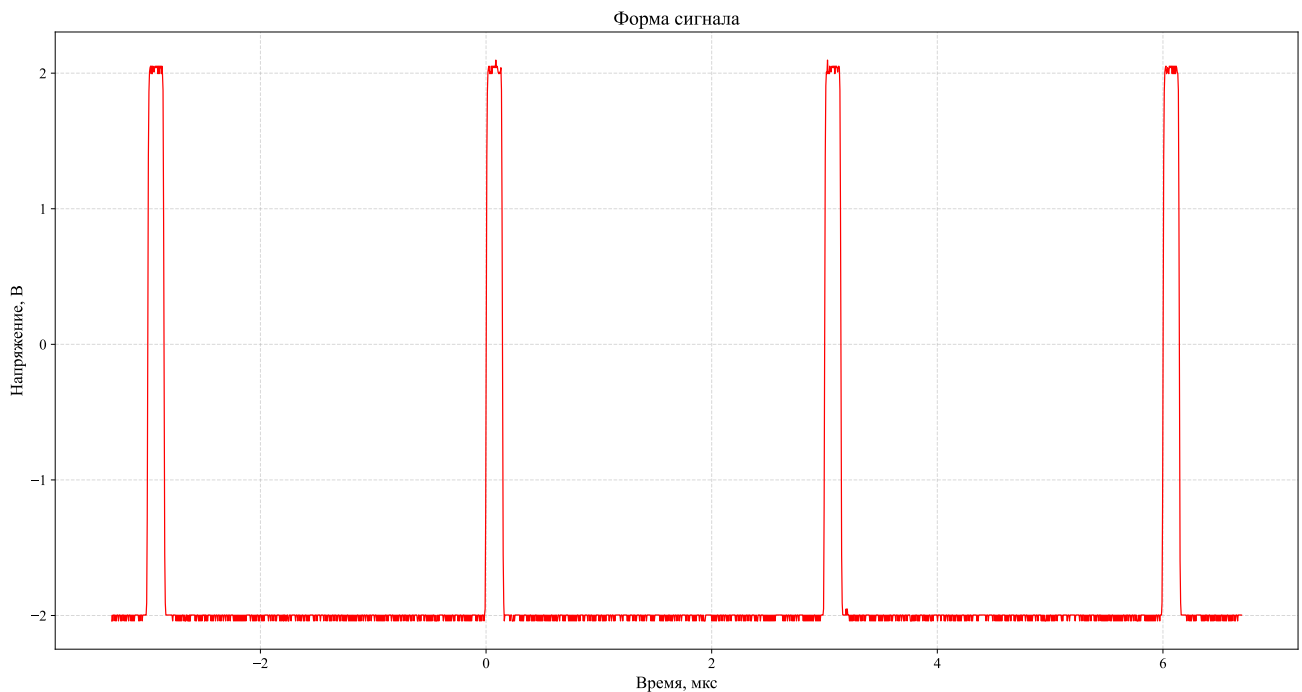


Рис. 18: Форма сигнала при  $T = 3 \text{ мкс}$

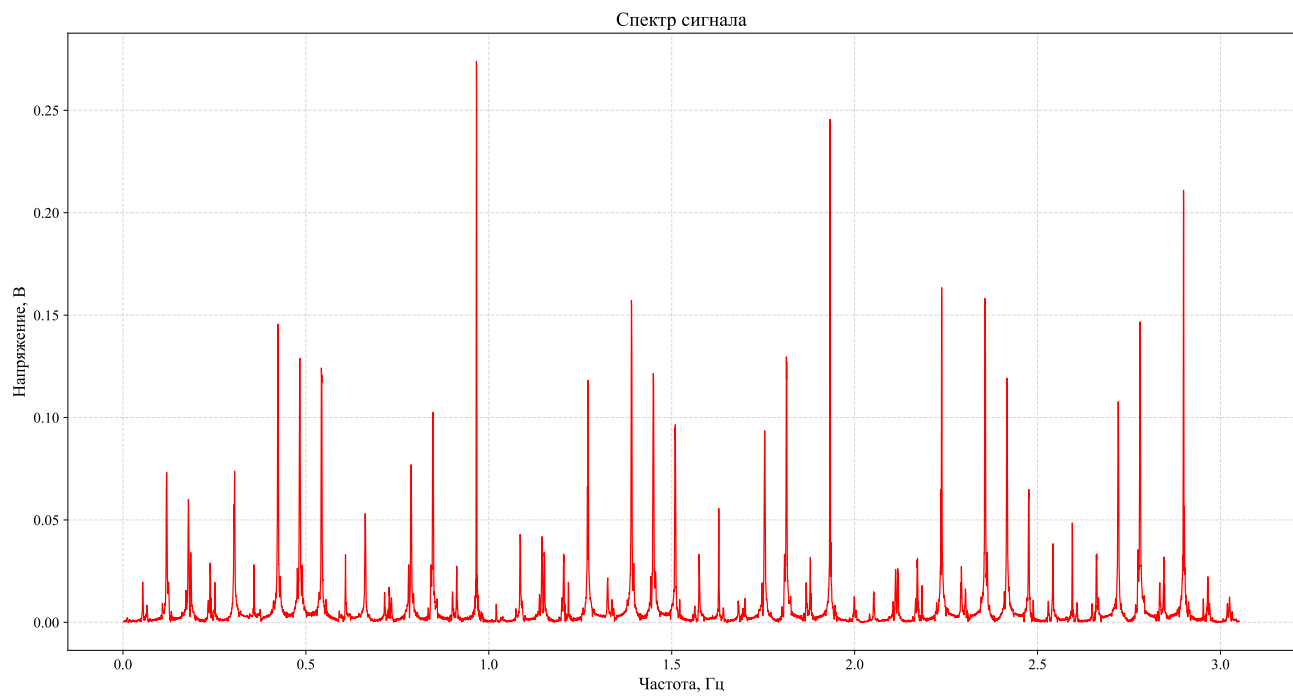


Рис. 19: Спектр при  $T = 3$  мкс

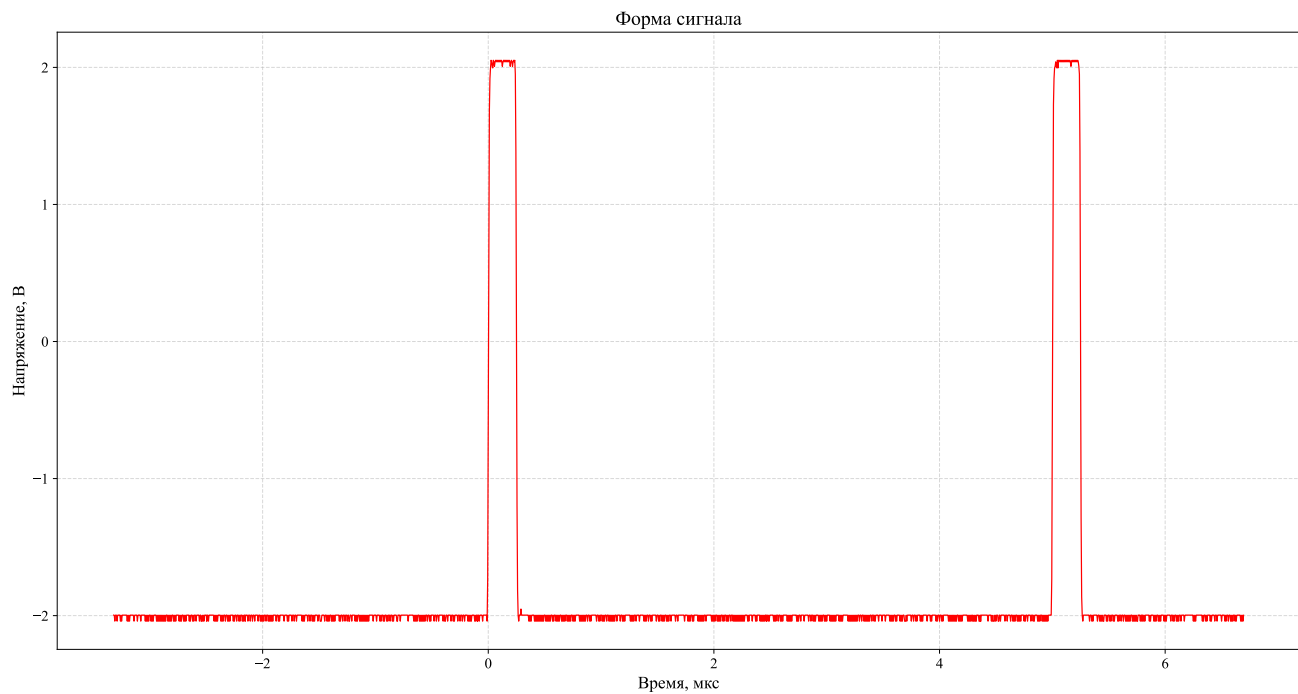


Рис. 20: Форма сигнала при  $T = 5$  мкс

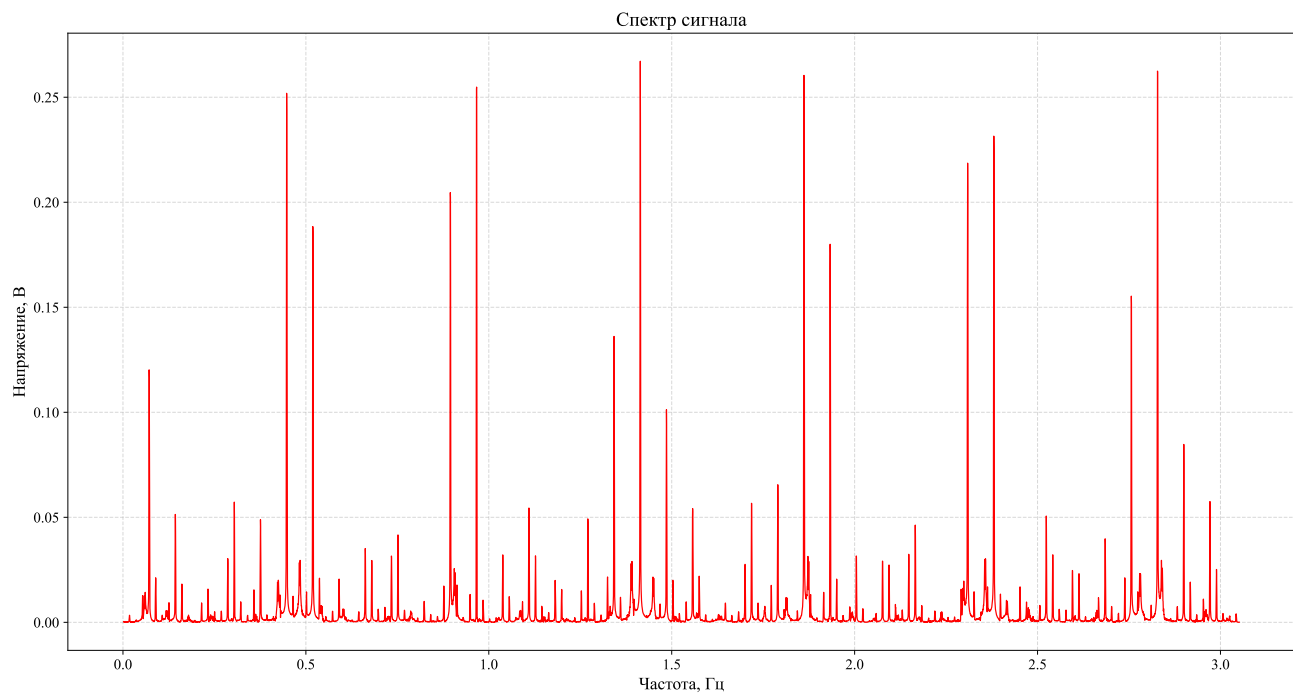


Рис. 21: Спектр при  $T = 5$  мкс

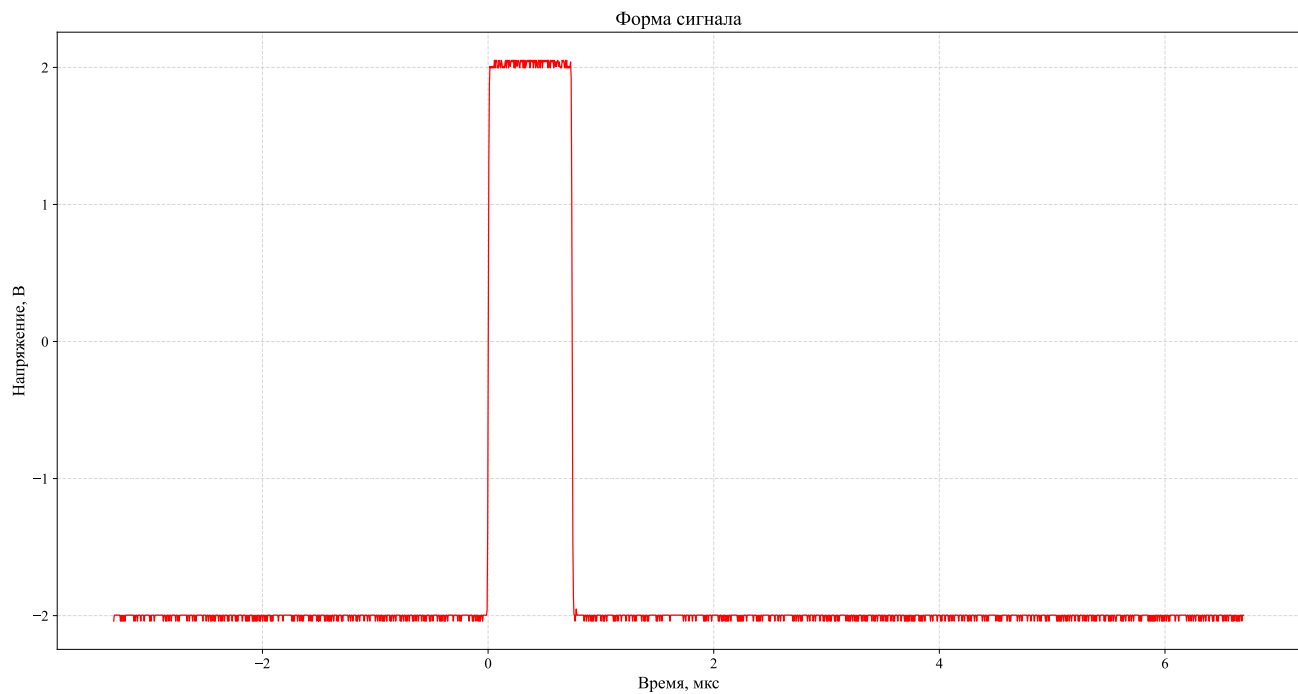


Рис. 22: Форма сигнала при  $T = 15$  мкс

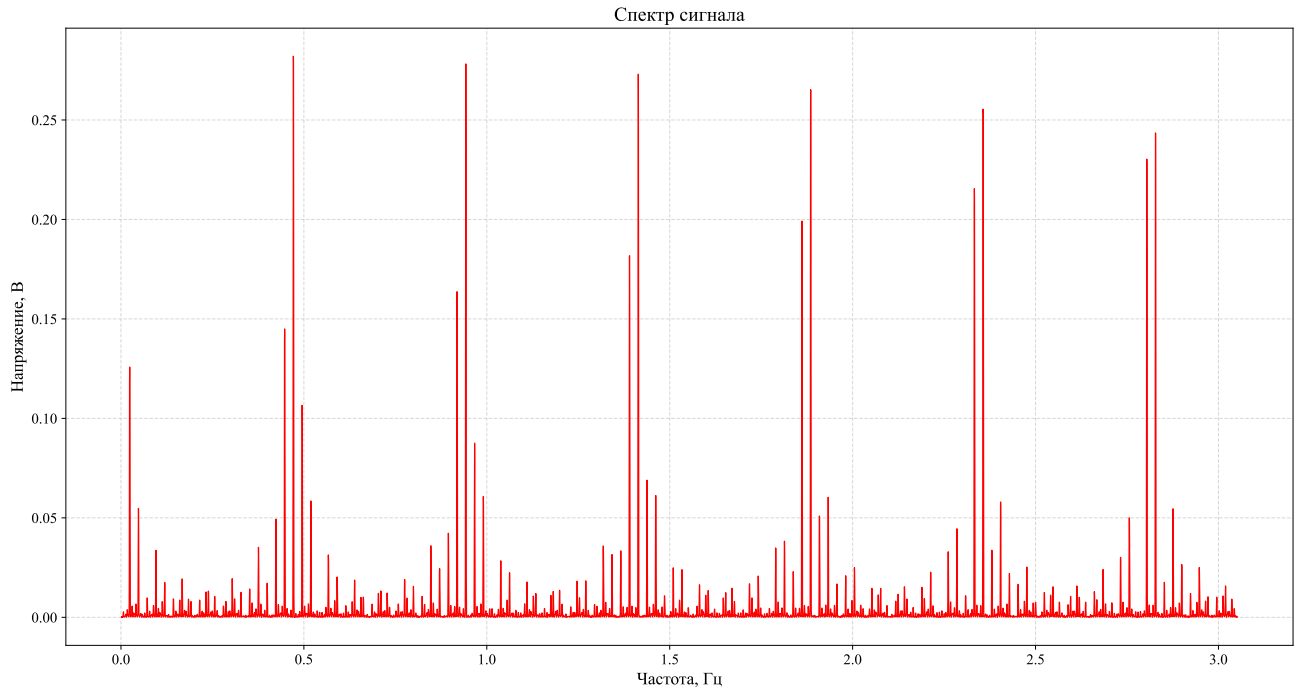


Рис. 23: Спектр при  $T = 15$  мкс

3. При фиксированной частоте  $\nu_0 = 200$  кГц проведены измерения отношений амплитуд соответствующих спектральных гармоник фильтрованного и исходного сигналов:  $K_n = |a_n^\Phi|/|a_n^0|$ :

n	$a_n^\Phi$	$a_n$	$\nu_n$ , кГц	$a_n^\Phi/a_n$	$1/\nu_n$ , мс
1	65	283	200	0,2297	0,0050
2	30	267	400	0,1124	0,0025
3	19	248	600	0,0766	0,0017
4	16	252	800	0,0635	0,0013
5	14	268	1000	0,0522	0,0010
6	9	250	1200	0,0360	0,0008
7	6	242	1400	0,0248	0,0007

4. Построены графики зависимости  $K(\nu)$  и  $K(1/\nu)$ .

5. Зависимость  $K(1/\nu)$  линейная:

$$K(1/\nu) = \frac{1}{2\pi\tau_{RC}} \left( \frac{1}{\nu} \right) \quad (10)$$

Таким образом, из коэффициента наклона прямой  $\kappa = 45,98$  кГц можно определить  $\tau_{RC} = 1/\kappa(2\pi) \approx 3,46$  мкс, что близко к рассчитанному изначально  $\tau_{RC} = 3$  мкс.

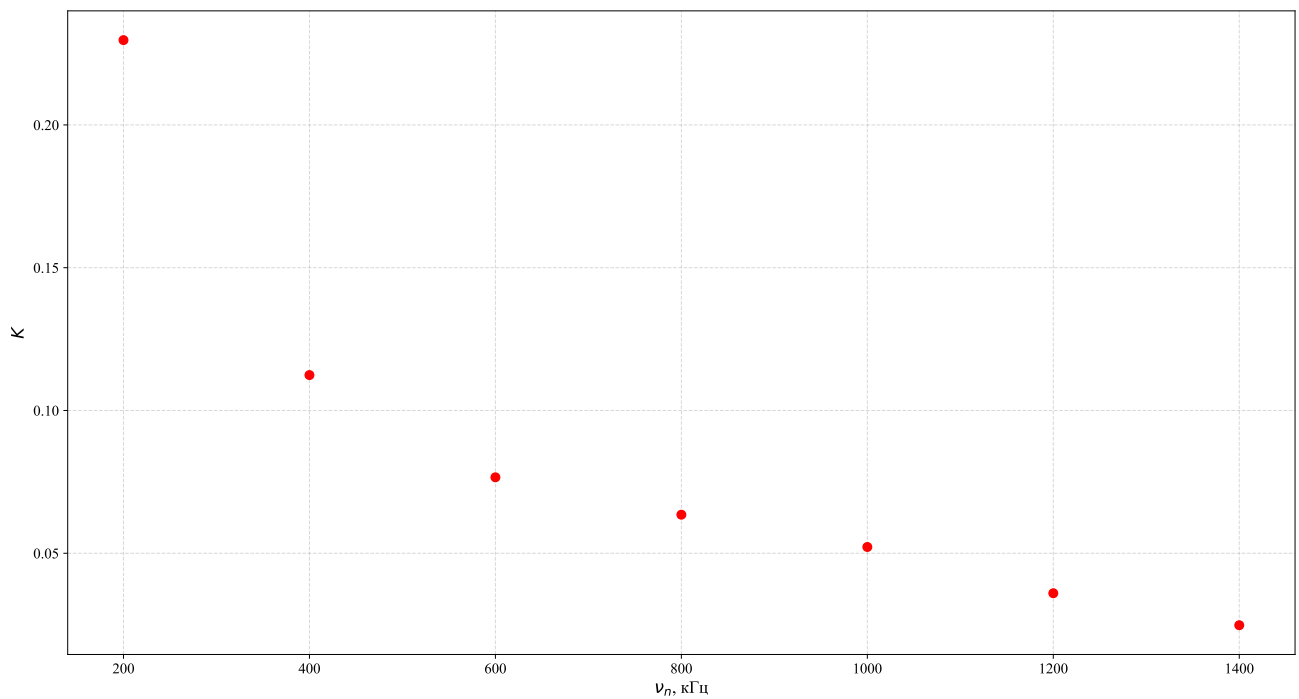


Рис. 24: График зависимости  $K(\nu)$

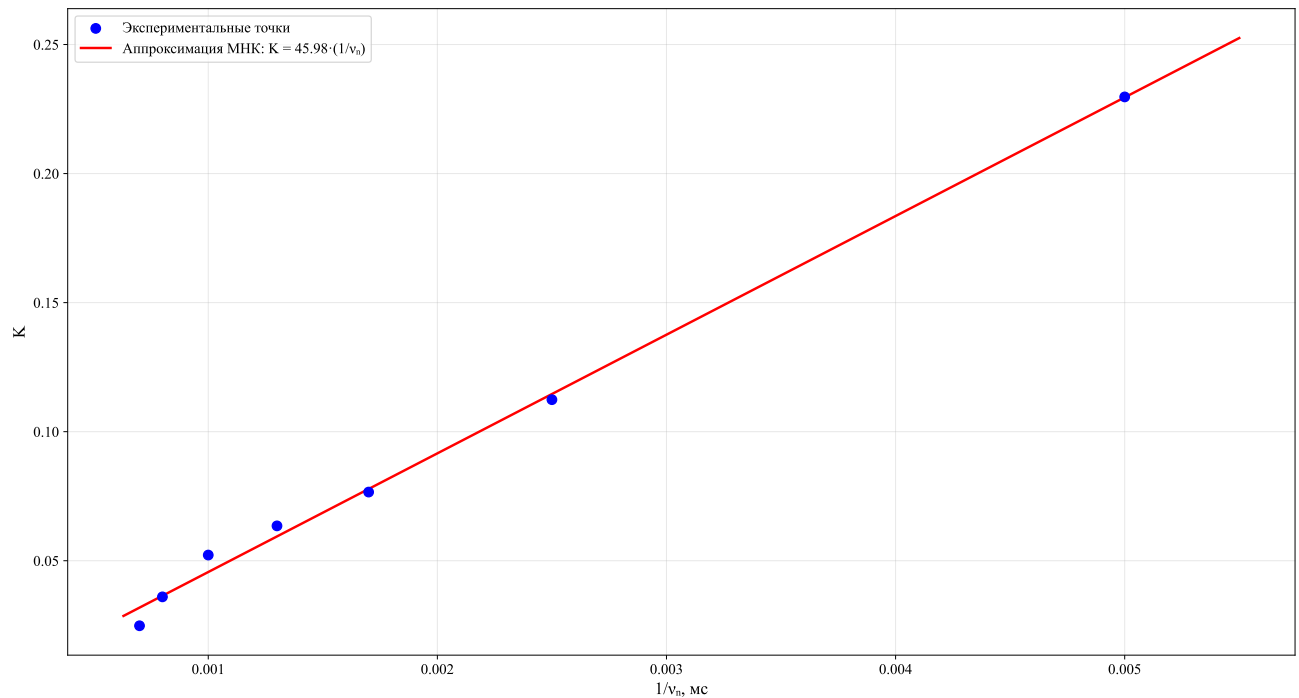


Рис. 25: График зависимости  $K(1/\nu)$

## Выводы

В ходе выполнения лабораторной работы были экспериментально исследованы основы спектрального анализа и преобразований Фурье. На практике изучены спектральные характеристики различных периодических электрических сигналов: прямоугольных импульсов, цугов синусоидальных колебаний, амплитудно-модулированных сигналов, а также фильтрованных сигналов.

С помощью осциллографа были получены спектры сигналов, позволившие определить их частотный состав. Экспериментально подтверждено соотношение неопределённостей  $\Delta\nu \cdot \Delta t \simeq 1$ , связывающее временные и частотные характеристики сигнала.